РАЗДЕЛ VI. ИЗМЕРЕНИЯ И КОНТРОЛЬ В МЕДИЦИНЕ И ЭКОЛОГИИ

GPS/Galileo" по постановлению правительства №218 от 09.04.2010

СПИСОК ЛИТЕРАТУРЫ

- Рябоконь, А.С. Перспективы применения неинвазивных методов при построении гемодинамических моделей// Известия ЮФУ. Технические науки. Тематический выпуск: "Компьютерные и информационные технологии в науке, инженерии и управлении". – Таганрог: Издво ТТИ ЮФУ, 2011. № 5. – С. 129-130.
- 2. Ультразвуковая допплеровская диагностика в клинике [Текст] / Под ред. Ю.М. Никитина, А.И. Труханова. Иваново: Издательство МИК, 2004. 496 с.: ил. С. 182.
- 3. Фундаментальная и клиническая физиология / Под ред. А.Г. Камкина и А.А. Каменского. М.: Академия, 2004. С. 513-702.
- Лелюк, В.Г. Ультразвуковая ангиология: 2-е изд., доп. и перераб / В.Г. Лелюк, С.Э. Лелюк – М.: Реальное время, 2003. – с. 9-44, 83-145.
- Применение ультразвука в медицине: Физические основы: Пер. с англ. / Под ред. К.Хилла. – М.: Мир, 1989. – 568 с, ил.

- 6. Ревенко, С.В. Медицинские приборы: Разработка и применение [Текст] Пер. с англ. / С.В. Ревенко – М.: Медицинская книга, 2004. – 720 с., ил. – С.366.
- Ultrasound Imaging / Edited by Masayuki Tanabe
 InTech, 2011. p. 210 P. 10.
- Белоцерковский, Г.Б. Основы радиолокации и радиолокационные устройства. / Г.Б. Белоцерковский – М.: Сов. радио, 1975 – 336 с, ил. – С. 113-118.
- Патент 5454372 США. МКИ6 A61B 9/00 Angle independent Doppler in ultrasound imaging [Текст] / Zoran B. Banjanin; Siemens Medical Systems, Inc. – № 261506; Заявл. 17.06.1994; Опубл. 03.10.1995; НКИ 128/66108.
- 10. Патент 5928153 США. МКИ2 A61B 8/00 Ultrasound flow velocity and Doppler angle measurement method and system [Текст] / Hui-Hua Chiang (Таіwап) № 09/198348; Заявл. 24.11.1998; Опубл. 27.07.1999; НКИ 600/454.

Аспирант **Рябоконь А.С.** тел. 8-928-957-20-80, chiptagan@mail.ru - каф. Информационноизмерительных технологий Южного федерального университета, г.Таганрог

УДК 616.314-089-073.75:616.716.1-003.4:615.847

ВИЗУАЛИЗАЦИЯ КЛИНИКО-ЛАБОРАТОРНЫХ ПОКАЗАТЕЛЕЙ В ОЦЕНКЕ РЕЗУЛЬТАТОВ ЭЛЕКТРОЦИСТЭКТОМИИ РАДИКУЛЯРНЫХ КИСТ В ОБЛАСТИ ВЕРХНЕЙ ЧЕЛЮСТИ

В.И. Семенников, Н.В. Семенникова, М. Тактак

Представлены результаты новой методики лечения радикулярных кист, локализующихся в области верхней челюсти. Данные клинического исследования подтверждены высоко объективными показателями мультисрезовой компьютерной томографии и указывают на высокую эффективность электроцистэктомии.

Ключевые слова: электроцистэктомия, радикулярная киста, верхняя челюсть, визуализация

Для профилактики различных осложнений [1,3,5,10] при лечении одонтогенных кист в области верхней челюсти нами был разработан способ электроцистэктомии [4]. Основополагающим этапом операции является коагуляция оболочки кисты в области прорастания ее дна пазухи. Ее коагулированная часть не позволяет нарушить целостность верхнечелюстной пазухи и предупреждает развитие одонтогенного синуита.

Цель работы – изучение эффективности электроцистэктомии в лечении радикулярных кист верхней челюсти с визуализацией доказательной базы клинико-лабораторных показателей.

Материал и методы

Предложенная методика применена у 33 пациентов в соответствии с нормами этиче-

ского протокола и их информированным согласием. Из них 21 лиц женского пола, 12 мужского. Возраст пациентов от 28 до 57 лет, средний возрастной показатель - 37.7 ± 1,6 лет. Критериями эффективности электроцистэктомии явились: а), состояние мукоцилиарного клиренса слизистой полости носа и верхнечелюстных пазух с использованием сахаринового теста, проводившегося до- и на 14 сутки после операции; б). наличие осложнений во время и после проведения операции; в). процесс заживления раны, контролируемый электротермометрией десны [2,4], проводимой до- и на 7, 14, 21 сутки после операции; г). изменение плотности костного дефекта до- и через 6, 12 месяцев после оперативного лечения, прослеженное методом мультисрезовой спиральной компьютерной томографии, («Light Speed 16», Simmens)

ПОЛЗУНОВСКИЙ ВЕСТНИК № 2/1, 2012

и шкалы Хаунсфилда [3,5,6,7,8]; д) количества дней нетрудоспособности.

Статистические исследования. Полученные цифровые показатели обработаны методами математической статистики на персональном компьютере на базе процессора AMD Athlon и пакета прикладных программ Excel 2007 для ОС Windows XP с расчётом точечных характеристик (среднее арифметическое (М), среднее квадратичное отклонение (о), средняя ошибка (т). Для определения достоверности различий этих цифровых показателей рассчитывали t — критерий Стьюдента. Критический уровень статистической значимости при проверке нулевой гипотезы принимали равный 0,05.

Результаты и их обсуждение

Установлено, что показатели исследования мукоцилиарного клиренса в полости носа до и после операции остались неизменными и составили 6,30±0,5 мин. Время мукоцилиарного клиренса верхнечелюстного синуса также не имели статистически значимых отличий (р≥0,5) и составили до и после операции соответственно 7,8±0,5мин. и 7,75±0,5 мин. Полученные данные свидетельствовали об отсутствии повреждающего воздействия электрокоагуляции на функциональное состояние слизистой верхнечелюстной пазухи и полости носа. Не было выявлено случаев кровотечения, прободения дна верхнечелюстного синуса во время операции и гнойновоспалительных осложнений в послеоперационном периоде. Полное восстановление плотности костного дефекта через 12 месяцев у 26 пациентов (84,6%, р= 0,001). У 7 пациентов (15.4%) редукция костного дефекта произошла на 85%(р= 0,001). Через 24 месяца у 31 пациента (93,94%%, р= 0,001) наблюдалось полное восстановление оптической плотности кости в области послеоперационного дефекта. У 2 пациентов (6,06%) оптическая плотность кости составила 91% (р= 0,001)относительно нормы 160±15у.е.Н) (рисунок 1).

Нормализация температуры в области слизистой десны на уровне расположения кисты произошла на 21,0±1,0 сутки после операции - 35,5±0,50С. Сроки нетрудоспособности пациентов составили 3,5±0,5 суток. Полученные результаты характеризуются только цифровыми показателями. Визуализация полученных данных с использованием спиральной мультислайсовой компьютерной томографии (СМКТ) позволяет в полном объеме отразить динамику исследуемых показателей и документировать протокол выпол-

ненной программы. Поэтому в качестве примера представляем картину процесса клинического применения электроцистэктомии с использованием СМКТ. Больная С., 50 лет, направлена обратилась в клинику кафедры хирургической стоматологии АГМУ с жалобами на периодически появляющиеся боли в области 1.4,1.5,1.6 и 2.4,2.5,2.6 зубов, наличие образования альвеолярного отростка в области указанных зубов.

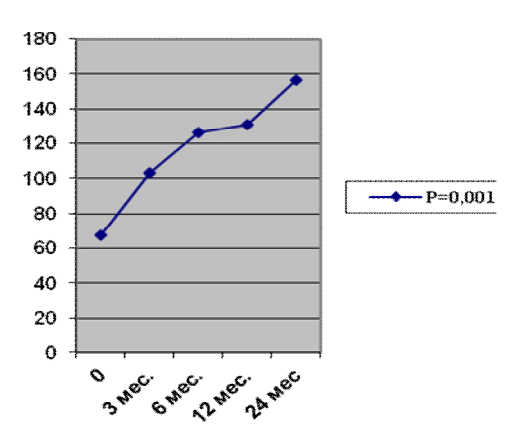


Рисунок 1. Динамика изменения показателей денситометрии в области кисты после электроцистэктомии

Первые симптомы заболевания появились около года назад. 2.4,2.5,2.6 ранее пролечены по поводу осложненного кариеса.

Внешний осмотр без особенностей, открывание рта в полном объеме. Прикус ортогнатический, 1.4,1.5,1.6 и 2.4, 2.5, 2.6 — под пломбами, перкуссия безболезненная. На альвеолярном отростке с вестибулярной поверхности в проекции 1.4,1.5,1.6 и 2.4,2.5, 2.6 — шаровидное выбухание безболезненное, симптом «пергаментного хруста» положительный. Слизистая оболочка над ним в цвете не изменена. Показатели ЭОД 1.4,1.5,1.6 и 2.4,2.5,2.6 >190 Ма. Электротермометрия слизистой в проекции выбухания 36,3°С (норма — 35,4°С).

На внутриротовых рентгенограммах: 1.4,1.5,1.6 и 2.4, 2.5, 2.6 – корневые каналы заполнены рентгенконтрастным материалом на всю длину равномерно. В области верхушек указанных зубов - очаги просветления округлой формы с четкими границами до 2.1см в наибольшем измерении.

На МСКТ в развернутой, коронарной и саггитальной проекциях (рисунки 2,3,5,7) просветление округлой формы размером до 2,1 см в наибольшем измерении. Распространяется на дно верхнечелюстной пазухи, отсутствие костной стенки в области дна пазухи.

РАЗДЕЛ VI. ИЗМЕРЕНИЯ И КОНТРОЛЬ В МЕДИЦИНЕ И ЭКОЛОГИИ

Показатели денситометрии – 67 ЕД по шкале Хаунсфилда (норма - 160).

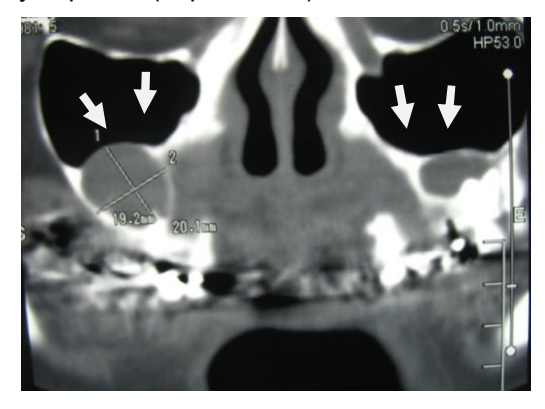


Рисунок 2. Пациентка С,50 лет. Диагноз радикулярные кисты верхней челюсти Реформат костей лицевого черепа МСКТ в развернутой проекции до лечения

Установлен диагноз: Радикулярные кисты верхней челюсти в области 1.4,1.5.1.6 и 2.4, 2.5, 2.6.с прорастанием дна верхнечелюстной пазухи. После электроцистэктомии справа (рисунки 4,6,8) патологических изменений в тканях верхнечелюстного синуса альвеолярного отростка не выявлено.

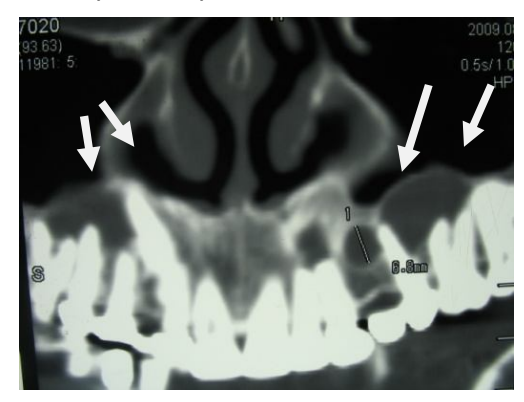


Рисунок 3. Реформат костей лицевого черепа МСКТ в развернутой проекции до лечения.



Рисунок 4. Реформат костей лицевого черепа МСКТ в развернутой проекции через 12 месяцев после электроцистэктомии.



Рисунок 5.Реформат костей лицевого черепа МСКТ в коронарной проекции до лечения.

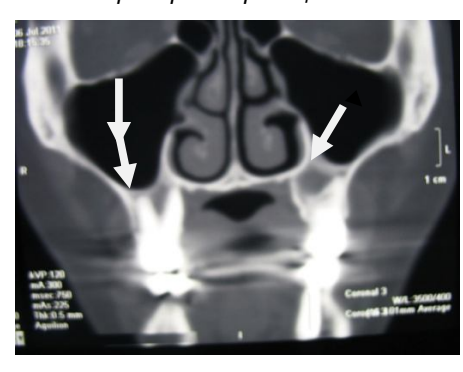


Рисунок 6. Реформат костей лицевого черепа MCKT в коронарной проекции через 12 месяцев после электроцистэктомии.



Рисунок 7. Реформат костей лицевого черепа МСКТ в саггитальной проекции до электроцистэктомии



Рисунок 8. Реформат костей лицевого черепа МСКТ в саггитальной проекции через 12 месяцев после электроцистэктомии

ПОЛЗУНОВСКИЙ ВЕСТНИК № 2/1, 2012

Заключение

Полученные данные свидетельствуют о простоте, рациональности и эффективности предложенной методики. Ее применение позволило во всех случаях провести лечение в условиях поликлиники, избежать операции синусотомии и связанных с ней возможных осложнений. Данные СМКТ в комплексе с электротермометрией, денситометрией, показателями мукоцилиарного клиренса позволили подтвердить клинические исследования и явились доказательной базой в визуализации полученных результатов.

Список литературы:

- 1. Безруков, В.М. Амбулаторная хирургическая стоматология / В.М. Безруков, А.Л. Григорьянц, Л.А. Рабухина, В.А. Бадалян.— М. : МИА, 2003. 75 с.
- 2. Камалтдинов Э.Р. Лечение радикулярных кист с использованием методики трансканальной электроцистэктомии: автореф. дис. ...канд. мед. наук. Красноярск, 2008.-18с.
- 3. Паслер, Ф.А. Рентгендиагностика в практике стоматолога / Фридрих А. Паслер, Хайко Виссер; Пер. с нем.; Под общ. ред. Н.А. Рабухиной. М.: МЕД-пресс-информ, 2007. 352 с.
- Семенников В.И, Хайжок А.В., Семеникова Н.В. Способ лечения радикулярных кист, проросших в верхнечелюстную пазуху и дно полости носа.//Аллергология и иммунология. -2009. - Том 10. - № 1. - С.130.

- 5. Соловьев М.М., Семёнов Г.М., Галецкий, Д.В. Оперативное лечение одонтогенных кист. С-Пб.: Спецлит. 2004. 113 с.
- 6. Шакирова, А.Т. Сравнительная оценка лучевых методов диагностики одонтогенных кист верхней челюсти / А.Т. Шакирова // Медицинская визуализация. 2002. № 1. С. 28–33.
- Barreto, D. Immunolocalization of PTCH Protein in Odontogenic Cysts and Tumors / D. Barreto, A. Bale, L. De Marco, R.S. Gomez // Journal of Dental Research. – 2002. – V. 81(11). – P. 757–760.
 Christgau, M. Guided tissue regeneration in in-
- Christgau, M. Guided tissue regeneration in intrabony defects using an experimental bioresorbable polydioxanon (PDS) membrane / M. Christgau, N. Bader, A. Felden, J. Gradl, A. Wenzel, G. Schmalz // Journal of Clinical Periodontology. 2002. V. 29. P. 710–723.
- Delantoni, A. An unusually large asymptomatic periapical lesion that presented as a random finding on a panoramic radiograph / A. Delantoni, P. Papademitriou // Oral Surgery, Oral Medicine, Oral Pathology, Oral Radiology, and Endodontology. – 2007. – V. 104. – P. 62–65.
- Gervásio, A. Levels of GM-CSF, IL-3, and IL-6 in Fluid and Tissue from Human Radicular Cysts / A. Gervásio, D.A.O. Silva, E.A. Taketomi, C.J.A. Souza, S-S.J. Sung, A.M. Loyola // Journal of Dental Research. – 2002. – V. 81. – P. 64–68.

д.т.н., профессор **Семенников В.И.**,, vsem32 @mail.ru - Зав.каф., к.м.н. **Тактак М.** –, ассистент - каф.хир.стоматологии ЧЛХ Алтайского госмедуниверситета, г.Барнаул -(3852) 628022; к.м.н. **Семеникова Н.В.**, 89234173999, e-mailnvsdok@mail.ru — ассистент Сибирского государственного медицинского университет а, г.Томск

УДК 662.997.05(043)

СИСТЕМЫ СЛЕЖЕНИЯ ЗА СОЛНЦЕМ С ПРИМЕНЕНИЕМ ФЭД

Охорзина А.В., Китаева М.В., Юрченко А.В., Скороходов А.В.

Описана система слежения за Солнцем на основе фотоэлектрического датчика (ФЭД) для фотоэлектрических модулей (ФМ) и энергетических систем. Также представлены результаты расчетов эффективности применения систем слежения для солнечных энергетических установок (СЭУ) использующих слежение по одной, двум координатам, установленной стационарно под углом к Солнцу и горизонтально расположенной. Приведены результаты натурных испытаний работы фотоэлектрических модулей с системой слежения в Томске

Ключевые слова: система слежения, однокоординатное и двухкоординатное слежение

Введение

Человечеству нужна энергия, потребность в которой увеличиваются с каждым годом. В связи с этим становится более необходимым использование нетрадиционных энергоресурсов.

Солнечная энергетика характеризуется максимальной простотой использования, наибольшими ресурсами, экологической чистотой и повсеместным распространением. Эти

обстоятельства определяют гелиоэнергетику как одно из наиболее перспективных направлений развития возобновляемой энергетики.

Наиболее актуально применение солнечных энергетических установок (СЭУ) в регионах без стационарной сети электропитания. Замена дизельных генераторов на СЭУ в таких регионах не только помогает облегчить энергетические и экологические проблемы, но и является экономически выгодной.